

بررسی و مقایسه تأثیر نرخ کرنش بر رفتار خوردگی تنشی فولادهای زنگ نزن مارتزیتی ۴۲۰ و آستنیتی ۳۱۶L

امیرحسین جوادیⁱ; علی حبیب‌اله زادهⁱⁱ

چکیده

در این مقاله رفتار خوردگی تنشی فولادهای زنگ نزن مارتزیتی AISI 420 و آستنیتی AISI 316L در محیط کلریدی تحت کرنش‌های کم و اثر سه عامل دما، محیط آزمون (کلرور منیزیم) و نرخ کرنش بر مقاومت خوردگی تنشی فولادهای مذکور مقایسه شده است. نتایج آزمایش کشش با نرخ کرنش کم برای هردو فولاد نشان می‌دهند که کاهش نرخ کرنش سبب تغییر رفتار سیلانی فولاد یعنی کاهش خواص مکانیکی و انعطاف پذیری آن می‌شود. هم چنین نتایج شکست نگاری فولاد ۴۲۰ نشان می‌دهند که در تمامی نمونه‌های آزمایش شده، ترک عمدتاً از طریق به هم پیوستن حفرات گسترش می‌یابد، به جز نمونه آزموده شده با نرخ کرنش $1.1 \times 10^{-6} \text{ s}^{-1}$ بر ثانیه، که شکست میان دانه‌ای نیز در آن بروز می‌کند. نتایج شکست نگاری فولاد ۳۱۶ نشان می‌دهند که در نمونه‌های آزمایش شده در هوای شکست همراه با گلولی شدن است. در نمونه‌های آزمایش شده تحت محیط خورنده ترک به صورت ترک بین دانه‌ای و درون دانه‌ای گسترش می‌یابد ولی با کاهش نرخ کرنش میزان درون دانه‌ای بودن ترک افزایش می‌یابد.

كلمات کلیدی

آزمون کشش با نرخ کرنش کم، کلرور منیزیم، ترک خوردگی تنشی، فولاد زنگ نزن مارتزیتی ۴۲۰، فولاد زنگ نزن آستنیتی ۳۱۶ کم کربن.

Evaluation and Comparison of Strain Rate on SCC Behavior of 420 Martensitic and 316L Austenitic Stainless Steels

A.H.Javadi; A.Habibollahzadeh

ABSTRACT

In this study, behaviors of stress corrosion cracking (SCC) in martensitic stainless steel (AISI 420) and in low carbon austenitic stainless steel (AISI 316L) have been compared under different temperature, environment (MgCl_2), and strain rate. The results show that decreasing strain rate has detrimental effect on mechanical properties of both, including their strength and ductility. Fractography of samples reveals that crack progresses by joining of dimples in fracture surface in all samples of AISI 420 steel, except in the sample tested at $1.1 \times 10^{-6} \text{ s}^{-1}$ strain rate, wherein intergranular fracture has also been observed on fracture surface. Necking phenomenon is only observed in air-tested samples of AISI 316L steel, but the other ones show low ductility. AISI 316L samples, tested under MgCl_2 environment, show a mixed fracture surface of intergranular and transgranular. The degree of transgranular fracture increases as strain rate decreases.

ⁱ کارشناس ارشد شناسایی و انتخاب مواد- دانشکده مهندسی- دانشگاه سمنان amirhossein.javadi@gmail.com

ⁱⁱ مسئول مکاتبات، استادیار گروه مواد- دانشکده مهندسی- دانشگاه سمنان ahabibolahzadeh@semnan.a.c.ir

KEYWORDS

Slow strain rate test, Magnesium chloride, Stress corrosion cracking, 420 Martensitic stainless steel, 316 low carbon austenitic stainless steel.

۱- مقدمه

۲- روش تحقیق

در تحقیق حاضر تأثیر سه پارامتر دما، محیط و نرخ کرشن بر مقاومت خوردگی تنشی فولادهای زنگ نزن مارتنتزیتی AISI 420 و زنگ نزن آستینتی کم کربن 316L (طبق آنالیز ارائه شده در جدول ۱) در محیط های هوا و کلرور منیزیم بررسی شده است، به طوریکه با انجام آزمون کشش با نرخ کرشن کم^۰ (SSRT) در دو محیط هوا و کلرور منیزیم جوشان، دو دمای محیط و ۱۵۴°C و سه نرخ کرشن مختلف بر روی نمونه ها، تشابهات و اختلافها میان رفتار این دو فولاد در طی خوردگی تنشی بررسی می شود.

قبل از انجام آزمون، نمونه های تست کشش طبق استاندارد ASTM E8 از دوفولاد مذکور تهیه شد. سپس نمونه های استاندارد تست کشش فولاد زنگ نزن ۴۲۰ ابتدا در دمای ۷۶°C و به مدت ۱۵ دقیقه پیش گرم شده و سپس در دمای ۱۰۲۵°C و به مدت ۲۰ دقیقه آستینتی و در روغن کوئنچ شدند. سپس نمونه ها دوبار تحت عملیات بازپخت قرار گرفتند که دما و زمان این عملیات، به ترتیب ۳۰۰°C و ۱۲۰ دقیقه و ۲۵۰°C و ۹۰ دقیقه، انتخاب شدند [۸]. شماشی سیکل عملیات حرارتی مذکور در شکل ۱ به صورت نمودار دما - زمان ارائه شده است.

جدول (۱): ترکیب شیمیایی فولادهای زنگ نزن مارتنتزیتی ۴۲۰ و آستینتی کم کربن ۳۱۶

درصد وزنی		عنصر	درصد وزنی		عنصر
فولاد	فولاد		فولاد	فولاد	
۲۱۶	۴۲۰	سیلیسیم	۰,۰۱	۰,۲۲	کربن
۰,۲۵	۰,۲۷	گوگرد	۱۶,۵	۱۲,۱	کروم
۰,۰۲	۰,۰۰۵	وانادیم	۱۰,۲۵	۰,۱۳	نیکل
۰,۱۶	۰,۰۸	مس	۲,۰۲	-	مولیبدن
۰,۰۵	۰,۱۵	تنگستن	۱,۶۸	۰,۰۲	منگنز
۰,۱۱	-				

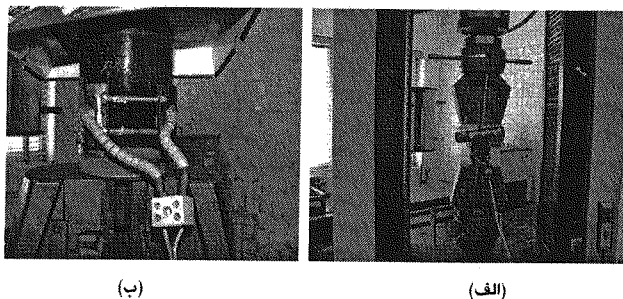
نمونه های استاندارد تست کشش ۳۱۶ کم کربن نیز به مدت ۱۲۰ دقیقه در دمای ۱۰۸۵°C تحت عملیات حرارتی انحلالی قرار گرفته و سپس در هوا سرد شدند. سپس جهت ایجاد پایداری ابعادی، نمونه ها در دمای ۳۰۰°C و به مدت ۹۰ دقیقه تحت عملیات تنش زدایی قرار گرفتند (شکل ۲) [۸].

امروزه سهم عمده ای از مواد مصرفی در صنایع شیمیایی، پتروشیمی، نفت و گاز به خانواده فولادهای زنگ نزن اختصاص دارد، چراکه این فولادها با داشتن حداقل ۱۲ درصد کروم، شرایط مقاومت به خوردگی خوبی دارند. یکی از پدیده های مخبر در صنایع شیمیایی بروز ترک خوردن ناشی از خوردگی تنشی^۱ (SCC) است، به نحوی که حدود ۲۵ درصد شکسته ای حاصل از خوردگی در صنعت ناشی از چنین پدیده ای است. این پدیده حتی در تنش های کم (مثلًا تنش پس ماند ناشی از عملیات جوشکاری و یا در حین عملیات تراشکاری) نیز می تواند به وقوع بپیوندد. یکی از مشکلات اصلی این پدیده غیر قابل پیش بینی بودن آن بوده که موجب تخریب های ناگهانی می شود، به همین دلیل مطالعه بر روی این نوع خوردگی و امکان پیش بینی آن اهمیت بسزایی دارد. با وجود مطالعات زیادی که تاکنون صورت گرفته، هنوز تئوری جامعی که قادر به توجیه این پدیده در کلیه فلزات و آلیاژها باشد، ارائه نشده است. بر اساس مطالعات Wilde حساسیت به SCC در آلیاژها می تواند ناشی از افزایش پروفیل غلظتی غیر تعادلی در مرزدانه ها باشد که منجر به ناهمنگی در بین دانه ها می شود و هم چنین این پدیده به حضور کاربیدها و دانسیته بالای نابجایی ها در مرزدانه ها مرتبط است. در واقع تجمع نابجایی ها در مرزدانه به ایجاد مرکز تنش و تجزیه مرزدانه ای منجر می شود [۱]. مرحله جوانه زنی ریز حفره ها را به ترک خوردن ذرات یا جدا شدن فصل مشترک یک آخال و یا ذره رسوی با زمینه نسبت داده اند [۲]. در طی رشد ترک در فرایند SCC، مسیر ترک از بین دانه های به درون دانه ای تغییر می کند، مکانیزم این تغییر مورفولوژی ترک مورد اختلاف محققین است. پارکین^۲ پیشنهاد کرد که در جایی که مسیرهای متفاوت ترک در یک ماده وجود دارد، مکانیزم رشد در طول مسیرهای مختلف به صورت ذاتی متفاوت نیست و مسیر ترک ممکن است فقط بازتابی از توزیع تغییر شکل میکروپلاستیکی باشد [۳]. اما بسیاری از محققین معتقدند که مکانیزم اشاعه ترک درون دانه ای با مکانیزم اشاعه ترک مرزدانه ای به طور اساسی متفاوت است [۴]. بارسل و پو^۳ در بررسی الگوهای مختلف SCC نتیجه گرفتند که مدل لغزش- تجزیه^۴ می تواند در اغلب موارد چگونگی بروز SCC مرزدانه ای را توضیح دهد [۷-۵].

گیرند، از محفظه‌های مقاوم به محیط خورنده مطابق شکل ۳ استفاده شد. برای شکست نگاری، سطح مقطع شکست نمونه‌ها پس از آزمون به ابعاد لازم برش داده شده و پس از تمیزکاری توسط اولتراسونیک، با میکروسکوپ الکترونی مطالعه شدند. یک سری از نمونه‌های سطوح شکست، پس از متالوگرافی درجهت عمود بر سطح شکست، توسط میکروسکوپ نوزی نیز بررسی شدند تا نوع ترک‌های ایجاد شده (بین دانه‌ای و یا مرزدانه‌ای) به نحو بهتری قابل مطالعه بشوند. در طی مراحل ذکور از آنالیز EDX به تناسب نیاز نیز استفاده شد.

جدول (۲): شرایط آزمون کشش با نرخ کرنش کم برای نمونه‌ها

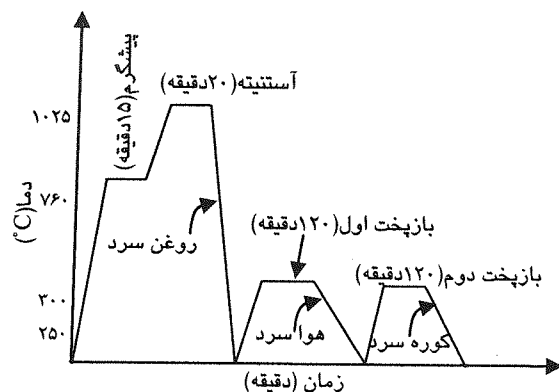
نرخ کرنش (برثانیه)	دما (°C)	محیط	شرایط آزمون
$1,1 \times 10^{-4}$	۲۵	هوای سرد	نمونه اول
$1,1 \times 10^{-4}$	۱۵۴	هوای سرد	نمونه دوم
$1,1 \times 10^{-4}$	۱۵۴	کلرور منیزیم	نمونه سوم
$1,1 \times 10^{-5}$	۱۵۴	کلرور منیزیم	نمونه چهارم
$1,1 \times 10^{-6}$	۱۵۴	کلرور منیزیم	نمونه پنجم



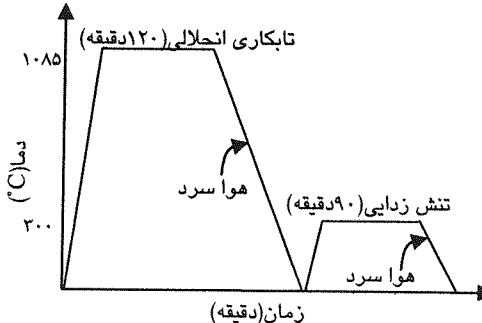
شکل (۳): نمایی از دستگاه 6027 Instron برای انجام تست SSRT
الف) نمای کلی دستگاه (ب) محفظه نگاهدارنده محلول خورنده

۳- نتایج و بحث

در اشکال ۴ و ۵ نمودارهای تنش-کرنش مهندسی نمونه‌ها که توسط دستگاه انجام آزمون رسم شده است را می‌توان مشاهده کرد. همان طور که در شکل ۴ مشخص است، با انجام شرایط آزمون طبق جدول ۲، انعطاف پذیری و استحکام فولاد ۳۱۶ به طور محسوسی کاهش یافته است. شکل ۵ نیز این رفتار را در مورد فولاد ۴۲۰ نشان می‌دهد. نمودارهای شکل ۶ نیز به خوبی رفتار مکانیکی هر دو فولاد زنگ نزن آستنیتی و مارتنتزیتی را تحت شرایط مختلف دمایی و محیطی نشان داده و امکان مقایسه رفتار این دو فولاد را برای ما میسر می‌سازند. طبق نمودارهای اشکال ۴ تا ۶، ابتدا با توجه به رفتار مکانیکی فولاد زنگ نزن مارتنتزیتی ۴۲۰ می‌توان مشاهده نمود که در نرخ کرنش معادل $1/1 \times 10^{-4}$ بر ثانیه، دما و شرایط محیطی اثر قابل توجهی بر رفتار مکانیکی این فولاد نداشته و تقریباً تمامی



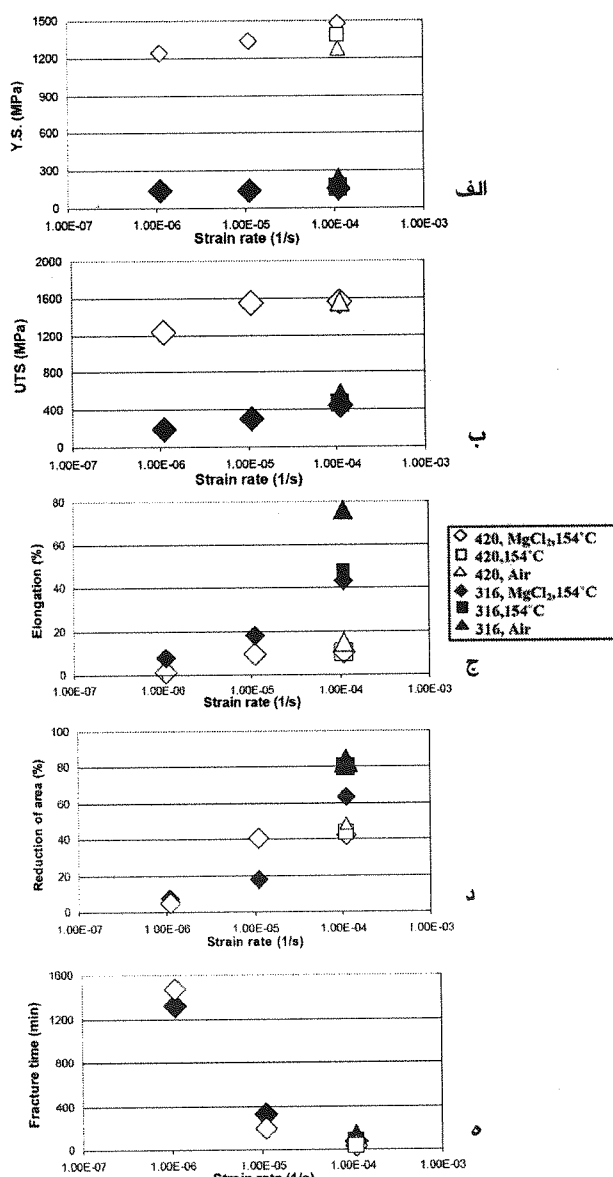
شکل (۱): نمودار دما - زمان مربوط به سیکل عملیات حرارتی کوئنچ-بازپخت نمونه‌های فولاد زنگ نزن مارتنتزیتی



شکل (۲): نمودار دما-زمان در طی سیکل عملیات حرارتی تابکاری انحلالی و تنش زدایی بر فولاد زنگ نزن آستنیتی

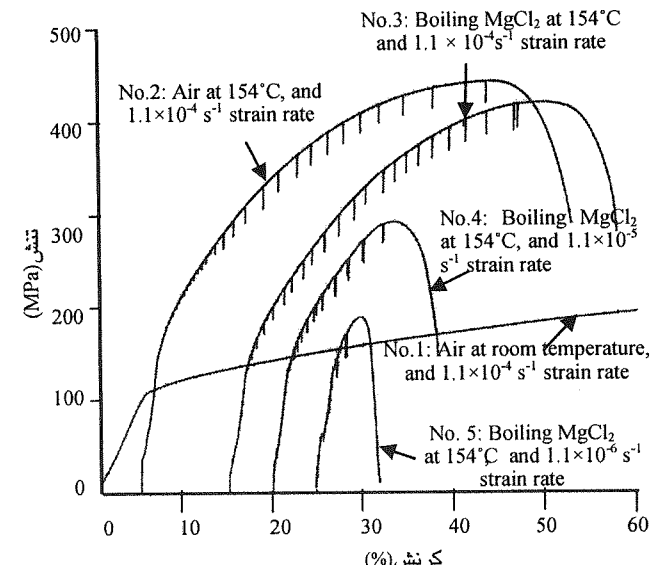
پس از انجام سیکلهای عملیات حرارتی، نمونه‌ها طبق استاندارد NACE-TM0198-98 تحت آزمون کشش با نرخ کرنش کم قرار گرفتند. در این آزمون، نمونه‌ها تحت شرایط کشیده در حضور محیط خورنده و معمولاً با سرعت کنترل شده در محدوده 10^{-4} بر ثانیه تا 10^{-6} بر ثانیه پایین‌تر انجام می‌گردند. کرنش در اینجا یا به صورت مستمر و یا به صورت مرحله‌ای، و نه به صورت سیکلی، افزایش داده می‌شود. در نهایت نیز نمونه‌ها یا به صورت مکانیکی، یا توسط خوردگی تنشی و یا هر دو خواهد شکست و این از مزایای مهم این روش است. همان‌گونه که بیان شد، هدف از انجام این آزمون در تحقیق حاضر، بررسی تأثیر متغیرهای دما، محیط و نرخ کرنش بر روی حساسیت به خوردگی تنشی نمونه‌ها است. بدین منظور با انتخاب دو محیط هوا و کلرور منیزیم و دو دمای محیط و 154°C و سه نرخ کرنش متفاوت، آزمون کشش با نرخ کرنش کم مطابق با شرایط مندرج در جدول ۲ توسط دستگاه 6027 Instron انجام شد. در شکل ۳ نمایی از دستگاه مذکور را می‌توان مشاهده کرد. نمونه‌ها به دستگاه بسته شده و با نرخ کرنش ثابتی تا شکست نهایی تحت کشش قرار گرفتند. برای اینکه نمونه‌ها علاوه بر کشش تحت محیط خورنده کلرور منیزیم جوشان نیز قرار

خواص ثابت باقی می‌مانند. چنین ثباتی در خواص مکانیکی حتی در نرخ کرنش $1/1 \times 10^{-5}$ بر ثانیه نیز قابل مشاهده است. به نحوی که تغییر زیادی در رفتار مکانیکی فولاد مارتنتزیتی مشاهده نمی‌شود و صرفاً با کاهش نرخ کرنش تا $1/1 \times 10^{-5}$ بر ثانیه، می‌توان شاهد کاهش خواص مکانیکی فولاد زنگ نزن مارتنتزیتی ۴۲۰ بود. بدین معنا که برای تأثیرپذیری فولاد از محیط نیاز به زمان است. در این حالت تنفس تسیلیم در حدود ۱۰ درصد، استحکام کششی حدود ۲۰ درصد، ازدیاد طول نسبی ۸ برابر و کاهش سطح مقطع حدود ۱۰ برابر است.

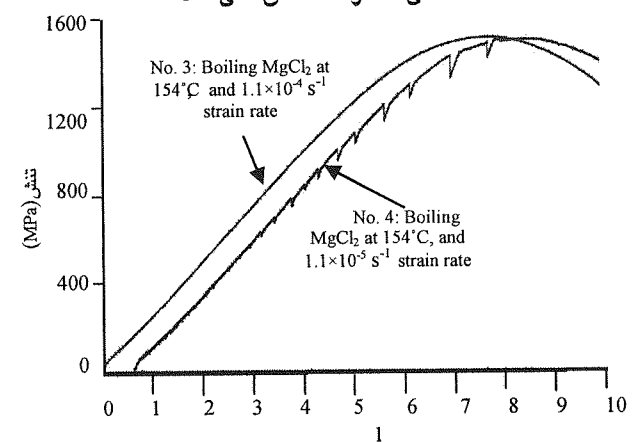


شکل (۴): نمودارهای تغییرات (الف) تنفس تسیلیم ۲/درصد، (ب) استحکام کششی، (ج) ازدیاد طول نسبی، (د) کاهش سطح مقطع، و (ه) زمان شکست نسبت به نرخ کرنش در فولاد زنگ نزن مارتنتزیتی ۴۲۰ (علامت‌های توخالی) و در فولاد زنگ نزن آستینیتی ۳۱۶ (علامت‌های توپر) تحت محیط‌های هوا و کلور مونیزیم و دماهای محیط و 154°C

طبق نتایج مشخص است که تنفس تسیلیم چندان تحت تأثیر نرخ کرنش و شرایط آزمون قرار نمی‌گیرد، و علت آن بروز کار مکانیکی ناچیز در نقطه تسیلیم است که این خصوصیت مکانیکی را نسبت به بروز خوردگی تنشی غیرحساس می‌کند. در مقابل دما و محیط دارای تأثیر بیشتری بر خواص مکانیکی فولاد زنگ نزن آستینیتی ۳۱۶ هستند، به طوری که به ازاء افزایش دما، احتمالاً در اثر بروز پدیده پیرکرنشی دینامیکی، کاهشی در ازدیاد طول نسبی در حد ۲۵ درصد مشاهده می‌شود. البته این میزان کاهش برای استحکام کششی و سطح



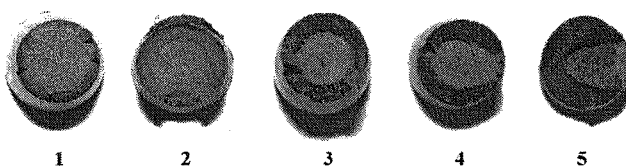
شکل (۵): نمودارهای تنفس-کرنش مهندسی نمونه‌های فولاد زنگ نزن ۴۲۰ که توسط دستگاه انجام آزمون رسم شده است. اشل محورها برای منحنی شماره ۱ صدق نمی‌کند



شکل (۶): نمودارهای تنفس-کرنش مهندسی نمونه‌های فولاد زنگ نزن ۴۲۰ که توسط دستگاه انجام آزمون رسم شده است

می شود که در نرخ کرنش های ثابت، عمر قطعات فولادهای زنگ نزن آستینتی و مارتنتزیتی یکسان است، بدین معنا که اگر چه استحکام کششی فولادهای زنگ نزن مارتنتزیتی بیش از فولادهای زنگ نزن آستینتی است، تحت نرخ کرنش ثابت در محیط کلرور منیزیم، عمر هر دو قطعه یکسان خواهد بود. (توجه شود که تنفس طراحی قطعات معمولاً به صورت ضربی مشخصی از استحکام کشش و یا تنفس تسليم فرض می شود).

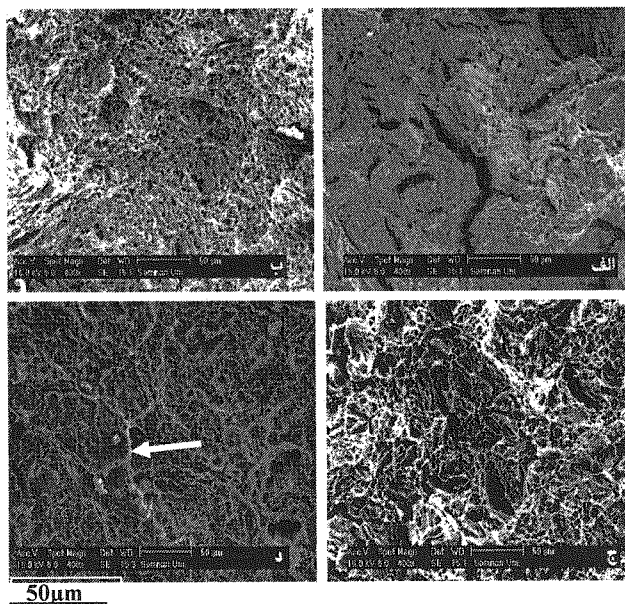
مطالعات شکست نگاری ماکرو و میکرو نیز می توانند پدیده های جالب توجهی را ارائه دهند، به طوری که با مقایسه سطوح شکست نمونه های هر دو فولاد (شکل های ۷ و ۸) می توان بیان نمود که در فولاد زنگ نزن مارتنتزیتی چه در شرایط معمولی و چه در شرایط مختلف آزمایش، مرحله گلویی شدن در فولاد مشاهده نمی شود البته سطح شکست نمونه ها با کاهش نرخ کرنش از مخلوط ترد و نرم به شکست کاملاً ترد سوق می یابند (شکل ۷). در مقابل در فولاد زنگ نزن آستینتی اگر چه آزمایش در هوا و حتی تحت کلرور منیزیم جوشان با نرخ کرنش ${}^{\circ}10 \times 1/1$ بر ثانیه، گلویی شدن نمونه ها قبل از شکست را نشان می دهد (شکل ۸ ب)، با کاهش نرخ کرنش، مرحله گلویی شدن در نمونه ها مشاهده نمی شود (شکل ۸ ب) و در نرخ کرنش ${}^{\circ}10 \times 1/1$ بر ثانیه سطح مقطع شکست کاملاً ترد به نظر می رسد (شکل ۸ الف). در ضمن در نمونه های فولاد زنگ نزن آستینتی تحت شرایط کلرور منیزیم، بر روی سطح نمونه ها وجود ترک های معتبرابه مشهود است، موردی که در نمونه های فولاد زنگ نزن مارتنتزیتی مشاهده نمی شوند.



شکل(۷): سطح شکست فولاد آزموده شده در (۱) محیط، (۲) هوا و دمای ${}^{\circ}154$ ، (۳) کلرور منیزیم، دمای ${}^{\circ}154$ ، نرخ کرنش ${}^{\circ}10 \times 1/1$ ، (۴) کلرور منیزیم، دمای ${}^{\circ}154$ ، نرخ کرنش ${}^{\circ}10 \times 1/1$ ، و (۵) کلرور منیزیم، ${}^{\circ}154$ ، نرخ کرنش ${}^{\circ}10 \times 1/1$.

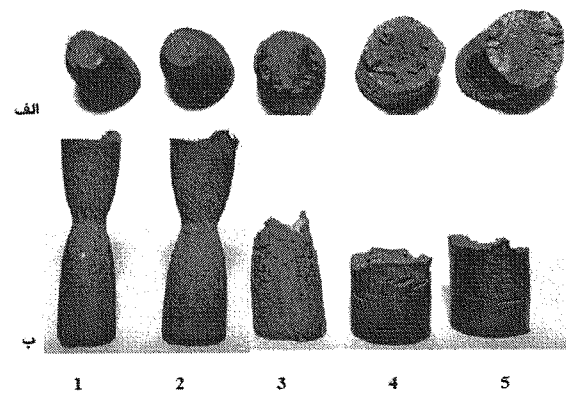
قطع کم تر بوده و در حد ۱۵ و ۳ درصد است. شرایط مشابهی در خصوص تغییر محیط آزمون از هوا به کلرور منیزیم (در دمای ${}^{\circ}154$) مشاهده می شود با این تفاوت که در نرخ کرنش ${}^{\circ}10 \times 1/1$ بر ثانیه، با تغییر محیط از هوا به کلرور منیزیم (در دمای ${}^{\circ}154$) تغییرات در خواص مکانیکی بسیار کم تر از این تغییرات در اثر افزایش دما از دمای محیط به دمای ${}^{\circ}154$ (در محیط هوا) خواهد بود. در این حالت نیز تغییرات تنفس تسليم نسبت به محیط، دما و حتی نرخ کرنش ناچیز و قابل اغماض است. البته با کاهش نرخ کرنش در محیط کلرور منیزیم، خواص مکانیکی فولاد زنگ نزن آستینتی به طور پیوسته کاهش می یابد. چنین امری را می توان ناشی از وجود زمان بیش تر برای بروز فرآیندهای خوردهای تنفسی در نرخ کرنش های کم تر دانست.

همان طور که اشاره شد اثر نرخ کرنش بر خواص مکانیکی فولاد مارتنتزیتی ${}^{\circ}420$ صرفاً در نرخ کرنش ${}^{\circ}10 \times 1/1$ بر ثانیه مشهود است. در مقابل اثر مشترک محیط، دما و نرخ کرنش آنقدر بر انعطاف پذیری فولاد زنگ نزن آستینتی زیاد است که در نرخ کرنش ${}^{\circ}10 \times 1/1$ بر ثانیه، مقدار انعطاف پذیری فولاد تا حد ۱۰ برابر نسبت به نتایج آزمون فولاد در دمای محیط کاهش نشان داده و به مقادیر مربوط به فولاد زنگ نزن مارتنتزیتی (در نرخ کرنش ${}^{\circ}10 \times 1/1$ بر ثانیه) می رسد. علت اینکه اثر نرخ کرنش بر خواص فولاد زنگ نزن آستینتی قابل توجه تر از این اثر بر فولاد زنگ نزن مارتنتزیتی است را شاید بتوان وجود تفاوت ساختاری در دو فولاد دانست، به نحوی که ساختار فولاد زنگ نزن آستینتی، ساختار FCC بوده و ساختار فولاد زنگ نزن مارتنتزیتی ساختاری BCT (همان BCC) که در جهت محور C کشیده شده باشد) است. مشخصاً ضربی ضربی اتم های بین نشین مانند کربن، نیتروژن و اکسیژن در ساختار FCC بیش از ضربی ضربی این عناصر در ساختار BCC است [۹ و ۱۰]. از طرف دیگر عده مکانیزم های بیان شده برای بروز خوردهای تنفسی در مواد، مبتنی بر قابلیت تحرك اتم های بین نشین (معادل ضربی ضربی) است. بنابراین با توجه به ضربی ضربی بیش تر اتم های بین نشین در فولاد زنگ نزن آستینتی، نفود بیش تر اتم های بین نشین در ساختار FCC است که با کاهش نرخ کرنش، اثرات خوردهای می توان انتظار داشت که در ساختار FCC و به تبع آن اثرات خوردهای بر خواص مکانیکی فولاد آستینتی در نرخ کرنش های کم تر مشهود تر شود. در مقابل به خاطر ضربی ضربی اثرا نشین، اثرات خوردهای در ساختار مارتنتزیتی (ساختار BCT) صرفاً در نرخ کرنش بسیار کم (${}^{\circ}10 \times 1/1$ بر ثانیه) مشاهده می شود، یعنی هنگامی که زمان برای نفود زیاد است. علاوه بر این، با توجه به نمودار زمان شکست - نرخ کرنش (شکل ۶) مشاهده



شکل(۹): تصاویر میکروسکوپ الکترونی از سطوح شکست فولاد زنگ نزن ۴۲۰ آزموده شده در (الف) محیط، (ب) هوای ۱۵۳°C، (ج) کلور منیزیم ۱۵۳°C با نرخ کرنش $1/1 \times 10^{-5}$ ، و (د) کلور منیزیم ۱۵۳°C با نرخ کرنش $1/1 \times 10^{-9}$ (حاوی ترک مرزدانه ای، پیکان سفید)

تصاویر شکل های ۱۱ و ۱۲، مقاطع عمود بر سطوح شکست را در دو فولاد ۴۲۰ و ۳۱۶ مشخص می کند. در شکل ۱۱ چگونگی اشاعه ترک در فاز مارتنتزیت در فولاد ۴۲۰ نشان داده شده است. با توجه به عبور ترک از میان مجتمع های مارتنتزیت سوزنی و یا در مواردی دور زدن آن ها، می توان نتیجه گرفت که ماهیت رشد ترک در این فولاد عمدتاً از نوع درون دانه ای است. در مقابل طبق شکل ۱۲، ماهیت رشد ترکها در فولاد ۳۱۶ از نوع مرزدانه ای و هم درون دانه ای است. همان طور که در شکل مشخص است، شکل گیری باندهای لغزشی از جمله نقص در چیدمان در اطراف ترک و هم چنین تغییر شکل آستنتیت به مارتنتزیت به دلیل وجود کرنش زیاد، سبب انتقال مورفوولوژی ترک از حالت بین دانه ای به درون دانه ای می شود. در واقع تغییر شکل آستنتیت به مارتنتزیت α و ϵ در فولادهای زنگ نزن آستنتیتی به دلیل کرنش القا شده، در اغلب منابع گزارش شده است [۱۱و۱۲]. بعلاوه آزمایشات میکروسختی نشان می دهد که سختی مناطق تغییر شکل یافته در اطراف ترک $327HV_{0.1}$ و سختی آستنتیت زمینه $260HV_{0.1}$ است این امر حکایت از ترد بودن مناطق اطراف نوک ترک داشته که می تواند منجر به اشاعه راحت تر ترک در درون دانه نسبت به مرز دانه شود. با توجه به شکل ۱۲ مشخص است که ترک عمدتاً از یک یا چند ناحیه در سطح به صورت مرزدانه ای آغاز شده و در طی اشاعه با تغییر ماهیت از مرزدانه ای به درون دانه ای یا بر عکس، گسترش می یابد. هم چنین شاخه دار بودن مسیر ترک



شکل(۸): سطح شکست نمونه های ۳۱۶ (الف) نمای از بالا (ب) نمای جانبی، توضیح شماره نمونه ها مطابق جدول ۲ و نیز شکل ۷.

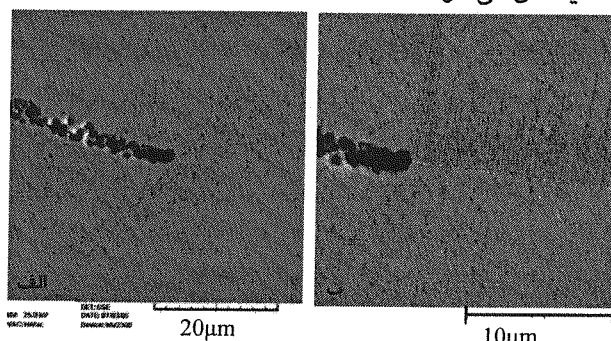
سطح شکست این دو فولاد در مقایسه میکرو نیز قابل مقایسه است (شکل های ۹ و ۱۰)، به نحوی که سطح شکست فولاد مارتنتزیتی در ابتدا به صورت شکست کلیواژ همراه با حفره ای شدن بوده (شکل ۹ الف و ب)، با کاهش نرخ کرنش ظاهرآ شکست کلیواژ از بین رفته و شکست عمدتاً با مکانیزم حفره ای شدن اتفاق می افتد و در این حالت حفره ها نیز بزرگ تر می شوند (شکل ۹ قسمت های ج و د). در شرایط نرخ کرنش $1/1 \times 10^{-9}$ بر ثانیه ظاهرآ ترک مرزدانه ای نیز در سطوح شکست مشاهده می شود. در مقابل سطح شکست فولاد آستنتیتی (شکل ۱۰) در شرایط مشابهی با سطح شکست نمونه فولاد مارتنتزیتی شکسته شده تحت نرخ کرنش $1/1 \times 10^{-5}$ بر ثانیه دارد به عبارتی نقطه انتهایی فولاد مارتنتزیتی مشابه نقطه ابتدایی فولاد زنگ نزن است و شاید بتوان انتظار داشت که با کاهش بیشتر نرخ کرنش برای فولاد مارتنتزیتی شرایط مشابهی با فولاد زنگ نزن آستنتیتی حاصل شود. به هر حال با کاهش نرخ کرنش و قرار گیری فولاد آستنتیتی در محیط کلور منیزیم (شکل ۱۰ ب و ج)، شکست نمونه های فولادی به صورت ترک بین دانه ای و درون دانه ای ظاهر می شود که میزان شکست درون دانه ای با کاهش نرخ کرنش تا حدودی افزایش می یابد.

چنین تغییر ترکیب شیمیایی از مناطق مذکور به سمت مناطق مجاور سبب تسهیل در اشاعه ترک و بروز خوردگی می‌شود. با توجه به شکل ۱۳ ب مشخص است که طول امتداد منطقه غنی از کربن از نوک ترک در حدود ۲ تا ۵ میکرومتر است. نفوذ کربن در جلوی نوک ترک وابسته به زمان بوده و در طی آزمایش کرنش آهسته رخ می‌دهد. به همین علت در نرخ‌های کرنش پایین مانند $1/1 \times 10^{-5}$ بر ثانیه، به دلیل کافی بودن زمان نفوذ کربن، مکانیزم شکست درون دانه‌ای غالب است (شکل ۱۰ ب و ج).

ع- نتیجه گیری

الف) استحکام فولاد زنگ نزن مارتزیتی در تمامی شرایط دمایی و محیطی بیش از فولاد زنگ نزن آستنیتی است. با وجود محیط خورنده و کاهش نرخ کرنش، در تمامی حالات استحکام هر دو فولاد کاهش می‌یابد.

ب) انعطاف پذیری فولاد زنگ نزن آستنیتی در ابتدا بیش از فولاد زنگ نزن مارتزیتی بوده ولی با کاهش نرخ کرنش و نیز در محیط کلرور منیزیم جوشان فولاد زنگ نزن آستنیتی ترد شده و در مقادیر کم نرخ کرنش، مقدار انعطاف پذیری هر دو فولاد یکسان می‌شود.



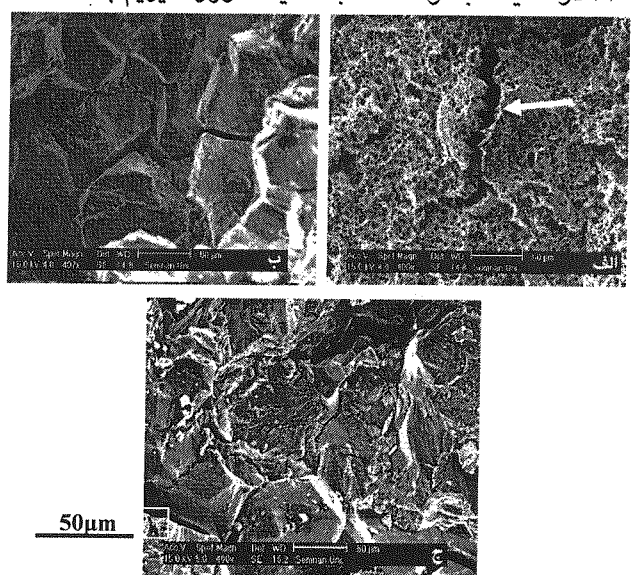
شکل (۱۳): تصویر میکروسکوپ الکترونی یک ترک درون دانه ای در نمونه پنجم فولاد ۳۱۶ کم کربن (جدول ۲). (الف) ماهیت حفره ای بودن ترک (ب) آنالیز خطی EDX از نوک ترک نشان دهنده پروفیل غلظت کربن در نوک ترک

ج) زمان شکست هر دو فولاد تحت شرایط نرخ کرنش و محیط خورنده و دمای یکسان تقریباً برابر است.

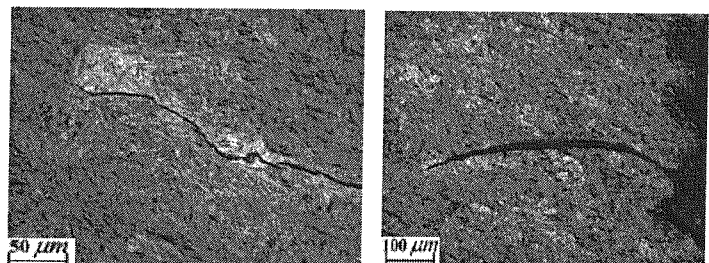
د) سطح ماکروشکست نمونه‌های زنگ نزن مارتزیتی ترد بوده و این تردی با کاهش نرخ خوردگی و در محیط کلرور منیزیم جوشان افزایش می‌یابد، در حالی که سطح ماکرو شکست فولاد زنگ نزن آستنیتی اگر چه ابتدا نرم بوده ولی در کمترین نرخ کرنش در محیط کلرور منیزیم جوشان کاملاً ترد می‌شود.

ه) سطح میکروشکست نمونه‌های فولاد زنگ نزن مارتزیتی در ابتدا حاوی حفره‌ای شدن و کلیواژ است ولی در کم ترین نرخ کرنش تحت محیط کلرور منیزیم جوشان تبدیل به حفره‌ای

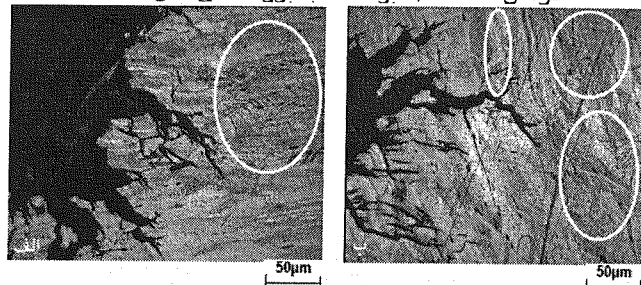
که در فولاد ۳۱۶ به وضوح نمایان است (شکل ۱۲)، در فولاد ۴۲ مشاهده نمی‌شود که شاید حکایت از عدم حساسیت فولاد ۴۲ در مقایسه با فولاد ۳۱۶ به محیط کلرور منیزیم باشد.



شکل (۱۰): تصاویر میکروسکوپ الکترونی از سطوح شکست فولاد ۳۱۶ کم کربن آزموده شده در (الف) محیط (حاوی ترک بین دانه ای، پیکان)، (ب) کلرور منیزیم 154°C با نرخ کرنش $1/1 \times 10^{-5} \text{ s}$ ، (ج) کلرور منیزیم 154°C با نرخ کرنش $1/1 \times 10^{-7} \text{ s}$



شکل (۱۱): تصاویر میکروسکوپ نوری از نمونه چهارم فولاد زنگ نزن شکسته شده در کلرور منیزیم در دمای 154°C و در نرخ کرنش $1/1 \times 10^{-5}$ بر ثانیه با مزرگننده‌های مختلف



شکل (۱۲): تصاویر میکروسکوپ نوری از نمونه پنجم کم کربن شکسته شده در کلرور منیزیم جوشان در دمای 154°C و نرخ کرنش $1/1 \times 10^{-5}$ بر ثانیه

یک نمونه نتیجه آنالیز EDX خطی نمونه‌ی فولاد زنگ نزن ۳۱۶ در شکل ۱۲ نشان داده شده است. نکته مهم تجمع زیاد کربن در نوک ترک یا مسیر اشاعه آن است که این مسئله و هم

J. Talonen; H. Hänninen, "Damping Properties of Austenitic Stainless Steel Containing Strain Induces Martensite", Metallurgical and Materials Transaction s A, Vol. 35A, p.240J 2004

J. Talonen and et al., "Effect of Strain Rate on The Strain-Induced $\gamma \rightarrow \alpha$ Martensite Transformation and Mechanical Properties of Austenitic Stainless Steels", Metallurgical and Materials Transactions A, Vol. 36A, p.p. 421-423 2005.

[۱۱] شدن و ترک بین دانه‌ای می‌شود. در مقابل سطح میکرو شکست فولاد زنگ نزن آستینیتی پس از قرار گیری در محیط منیزیم جوشان تبدیل به شکست درون دانه‌ای و بین دانه‌ای می‌شود.
[۱۲] و) تجمع کربن و وجود پروفیل غلطی در نوک ترک سبب اشاعه راحت تر ترک خورده‌گی تنشی و تسهیل در خوردگی می‌شود. هم چنین به علت کافی بودن زمان نفوذ کربن در جلوی نوک ترک در نرخ‌های کرشن پایین مانند 1.1×10^{-3} بر ثانیه، مکانیزم شکست درون دانه‌ای غالب است.

۷- زیرنویس‌ها

- Stress Corrosion Cracking
- Parkin
- Bursle and Pough
- Slip-Dissolution model
- Slow Strain Rate Test

۵- تقدیر و تشکر

بدین وسیله از ریاست محترم دانشکده مهندسی و مدیریت محترم گروه مواد دانشگاه سمنان و مسئولین محترم پژوهشگاه صنعت نفت که در جهت انجام این تحقیق مساعدت‌های لازم را مبذول داشته اند تشکر نموده و از تمامی تکنسین‌های گروه مواد و پژوهشگاه صنعت نفت که در انجام این تحقیق با ما همکاری نموده اند صمیمانه قدرتانی می‌نماییم. هم چنین از مسئولین محترم شرکت جهاد تحقیقات فن اندیشه تهران به خصوص آقای مهندس اورمزدی به خاطر پشتیبانی مالی بخشی از هزینه‌های پژوهش تقدیر و تشکر به عمل می‌آید.

۶- منابع

- [۱] B.E.Wilde; "The Interaction of Hydrogen with Dislocation Stacking Faults and Other Interfaces", Corrosion Vol.27 p.326, 1971.
- [۲] R.W.Hertzberg; Deformation and Fracture Mechanics of Engineering Materials, 1st Edition, John Wiley & Sons Inc., 1996
- [۳] R.N.Parkins, "Parkins Symposium on Fundamental Aspects of Stress Corrosion Cracking", TMS Publication, Pennsylvania p.3, 1992.
- [۴] P.Muraleedharan; J.B.Gnanamoorthy; P.Rodriguez, "The Effect Of Ageing at 973 K on Stress Corrosion Cracking of Type 304 Stainless Steel", Pergamon, p.1198 1995.
- [۵] A.J.Bursle; E.N.Pugh, "Environment- Sensitive Fracture of Engineering Materials", AIME, Warrendale, p.18 1979
- [۶] Marcus Philippe, Corrosion Mechanisms in Theory and Practice, 2nd Edition, Marcel Dekker Incorporated, 2002.
- [۷] J.G.Gonzales; G.Bahena; V.M.Salinas, "Effect of Heat Treatment on the Stress Corrosion Cracking Behavior of 403 Stainless Steel in NaCl at 95°C", Materials Letters, Elsevier, p.213, 1999
- [۸] Harry Chandler, "Heat Treaters Guide", 2nd Edition, ASM international, pp.414-432, 1998
- [۹] R.E.Reed-Hill, Physical Metallurgy Principles, 1st Edition, Van Nostrand Reinhold Company 1964.
- [۱۰] S.H.Avner, Introduction to Physical Metallurgy, 2nd Edition, McGraw-Hill, 1974.